

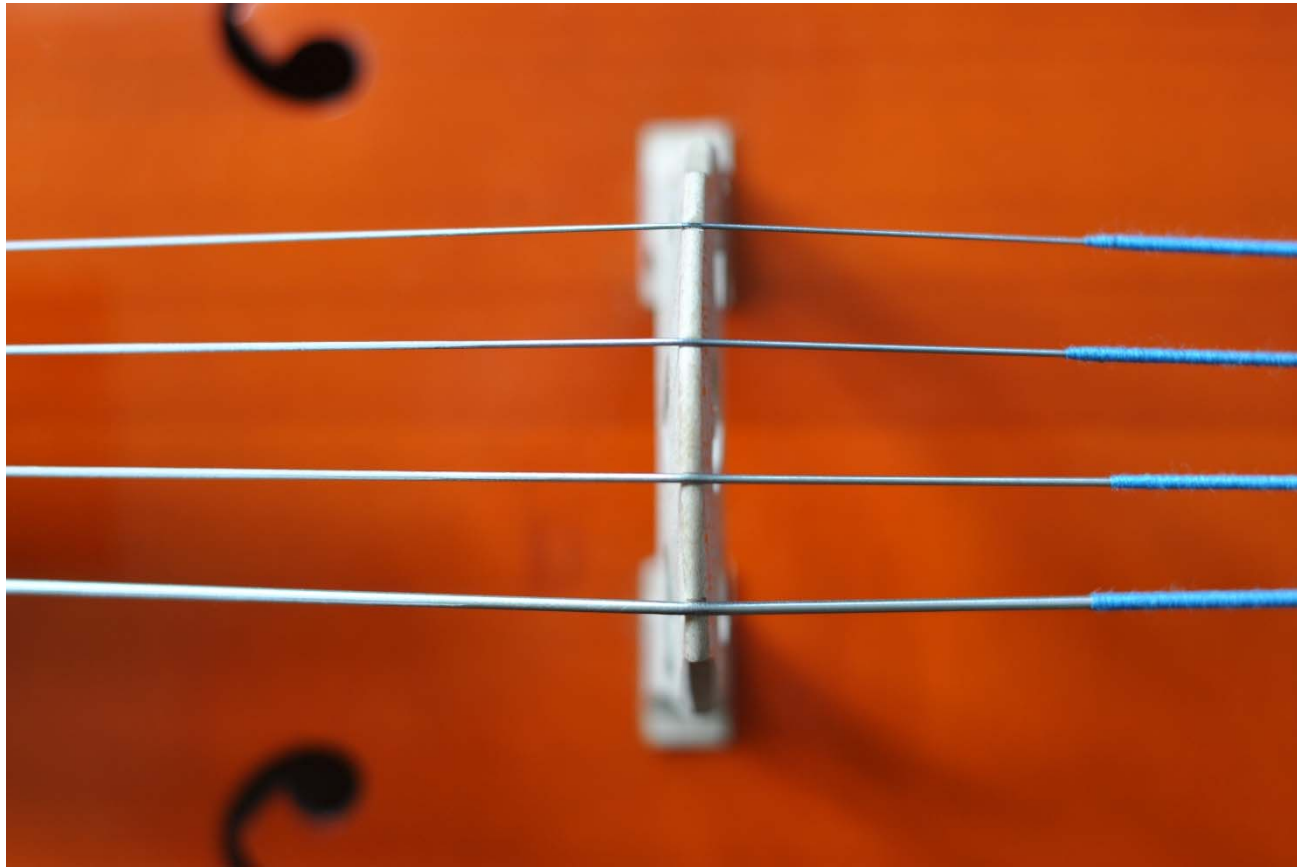


Benoît FABRE, Jean-Loïc Le CARROU

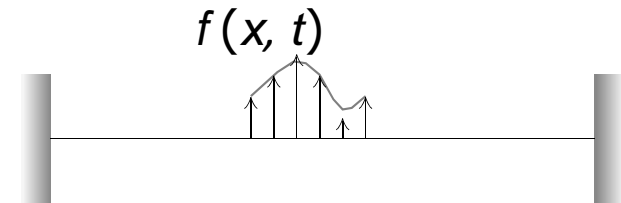
Sorbonne Université

LAM-d'Alembert SU-CNRS-MCC

Instruments à cordes



Corde souple : modes



Corde souple inhomogène : éq. des ondes transversales

$$\rho(x)S(x)\frac{\partial^2 y}{\partial t^2} - \frac{\partial}{\partial x} \left[T(x) \frac{\partial y}{\partial x} \right] = f(x, t) ,$$

Les conditions aux limites en $x=0$ et $x=L$ permettent de décomposer le déplacement latéral y sur les modes :

$$y(x, t) = \sum_n \Phi_n(x) q_n(t)$$

Une force d'excitation quelconque $f(x, t)$ peut alors être décomposée en forces modales :

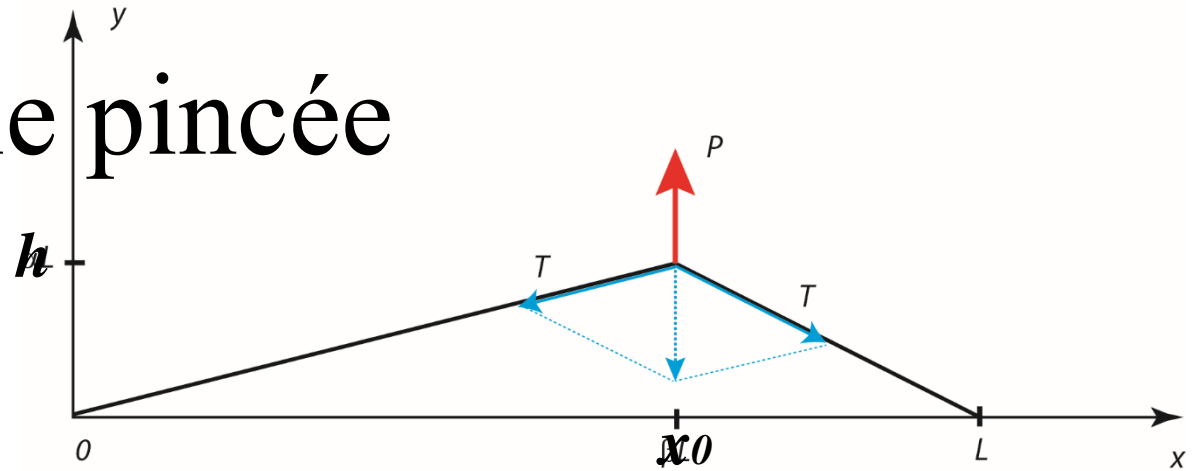
$$f_n(t) = \int_0^L f(x, t) \Phi_n(x) dx$$

Chaque mode répond comme un oscillateur simple (ordre 1) :

$$\ddot{q}_n(t) + \omega_n^2 q_n(t) = \frac{f_n(t)}{m_n}$$

$$m_n = \int_0^L \Phi_n^2(x) \rho(x) S(x) dx ,$$

Corde souple pincée



La déformée initiale est donnée par :

$$y(0, t) = \begin{cases} \frac{hx}{x_o} & \text{pour } 0 \leq x \leq x_o, \\ \frac{h(L-x)}{L-x_o} & \text{pour } x_o \leq x \leq L \end{cases}$$

Permet de calculer les amplitudes initiales des modes :

$$q_n(0) = \frac{1}{m_n} \int_0^L \rho S y(0, t) \Phi_n(x) dx = \frac{1}{m_n} \int_0^L \rho S y(0, t) \sin k_n x dx$$

Pour une corde en appui en $x=0$ et $x=L$, lâchée sans vitesse initiale $\dot{q}_n(0) = 0$

$$q_n(0) = \frac{2hL^2}{n^2\pi^2 x_o(L-x_o)} \sin k_n x_o$$

Le mouvement de la corde est obtenu par la superposition des modes

$$y(x, t) = \sum_n \frac{2hL^2}{n^2\pi^2 x_o(L-x_o)} \sin k_n x_o \sin k_n x \cos \omega_n t .$$

Pincement non ponctuel : Influence de la largeur de pincement

$$\rho S \frac{\partial^2 y(x, t)}{\partial x^2} - T \frac{\partial^2 y(x, t)}{\partial t^2} = f(x, t)$$

où $y(x, t)$ est son déplacement transversal, ρ sa masse volumique, S sa section et T sa tension.

$$f(x, t) = B\delta(t)g(x) \quad \text{avec} \quad g(x) = \begin{cases} 1 & \text{si } x_0 - a \leq x \leq x_0 + a \\ 0 & \text{ailleurs} \end{cases}.$$

$$y(x, t) = 2aB \sum_n \frac{\sin k_n x \sin k_n x_0}{m_n} \frac{\sin k_n a}{k_n a} \frac{\sin \omega_n t}{\omega_n}$$

On voit apparaître un filtrage passe-bas $\frac{\sin k_n a}{k_n a}$, fréquence de coupure $f_c = \frac{c}{2a}$

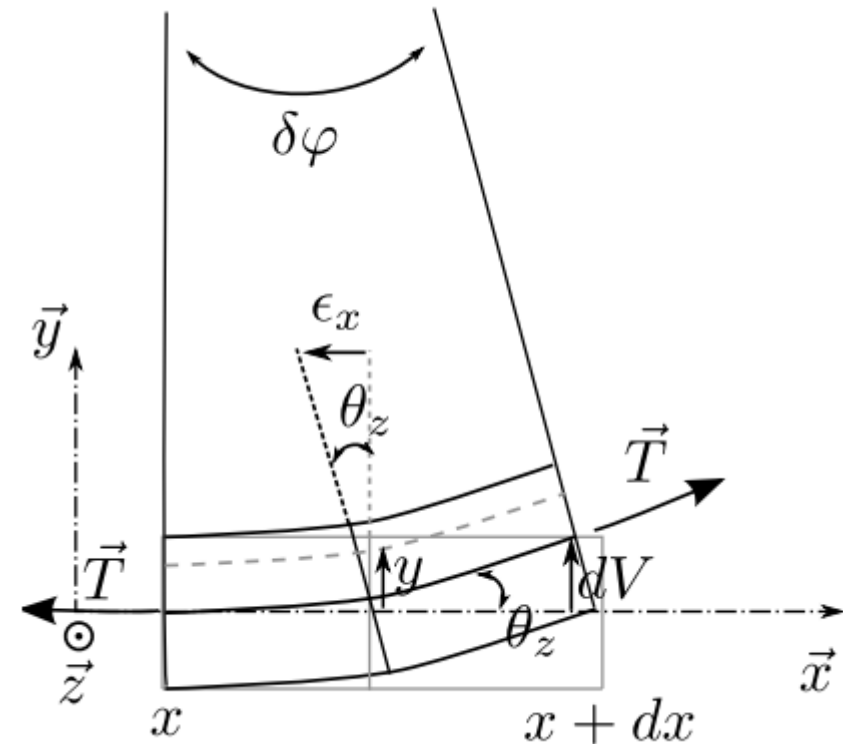
À comparer au cas ponctuel : $y(x, t) = \sum_n \frac{2hL^2}{n^2\pi^2 x_o(L - x_o)} \sin k_n x_o \sin k_n x \cos \omega_n t$.

Corde raide

Hypothèse d'Euler-Bernouilli :

- Les déformations de la section droite dues au cisaillement sont négligées
- L'effet d'inertie de rotation est négligé

Voir le détail de l'établissement de l'équation du mouvement dans « Valette Chap3 »



Déplacement latéral v de la corde (noté y plus haut)

Equation du mouvement :

$$\frac{\partial}{\partial x} \left[T \frac{\partial v}{\partial x} \right] - \frac{\partial^2}{\partial x^2} \left[EI_z \frac{\partial^2 v}{\partial x^2} \right] = \rho_L \frac{\partial^2 v}{\partial t^2}$$

Equation de dispersion :

$$Tk^2 + Elk^4 = \rho_L \omega^2$$



Rabel Danie - Ballet des fées de la foret de st-germain – 1625 - BNF

Benoît FABRE, Jean-Loïc Le CARROU

Sorbonne Université

LAM-d'Alembert SU-CNRS-MCC